

ОБЪЕДИНЕННЫЙ ИНСТИТУТ ЯДЕРНЫХ ИССЛЕДОВАНИЙ

Лаборатория теоретической физики

С 332

И-85

481

П.С. Исаев

ПРИМЕНЕНИЕ ДИСПЕРСИОННЫХ
СООТНОШЕНИЙ ДЛЯ ПРОВЕРКИ
КВАНТОВОЙ ЭЛЕКТРОДИНАМИКИ
НА МАЛЫХ РАССТОЯНИЯХ

Автореферат диссертации на соискание ученой
степени кандидата физико-математических наук

Научный руководитель
доктор физико-математических наук

А.А. Логунов

Дубна 1960 год

П.С. Исаев

С 332
и - 85

ПРИМЕНЕНИЕ ДИСПЕРСИОННЫХ
СООТНОШЕНИЙ ДЛЯ ПРОВЕРКИ
КВАНТОВОЙ ЭЛЕКТРОДИНАМИКИ
НА МАЛЫХ РАССТОЯНИЯХ

Автореферат диссертации на соискание ученой
степени кандидата физико-математических наук

Научный руководитель
доктор физико-математических наук

А.А. Логунов

Объединенный институт
ядерных исследований
БИБЛИОТЕКА

Темой диссертации является получение дисперсионных соотношений для процессов тормозного излучения электронов и рождения электронно-позитронных пар фотонами на нуклонах и применение их для проверки квантовой электродинамики на малых расстояниях.

В первой главе методом Н.Н.Боголюбова получены дисперсионные соотношения для виртуального комптон-эффекта, объединяющего в себе оба выше названных процесса. Для процесса тормозного излучения электрона на нуклоне $e + N \rightarrow e + N + \gamma$ матричный элемент S -матрицы, соответствующий диаграмме 1, может быть записан в виде:

$$\langle f | S | i \rangle = -ie^3 \frac{m}{\sqrt{2K_{e0}e}} \cdot \frac{(2\pi)^4}{\chi^2} \cdot \delta(k + p - \chi - p_0) \ell^h e^\ell T_{nl}^c \left(\frac{k + \chi}{2} \right), \quad 1/1$$

где $k(k, \vec{\ell})$ и $\chi(\chi, \vec{\chi})$ - 4x импульсы реального и виртуального фотонов, p и p_0 - 4x импульсы нуклона в конечном и начальном состояниях, E_0 и E - энергия электрона в начальном и конечном состояниях, m - масса электрона, ℓ^h - вектор поляризации реального фотона, E^ℓ - вектор "поляризации" виртуального фотона. Матричный элемент процесса рождения пар фотоном на нуклоне получится из 1/1 заменой $k \rightarrow \chi$.

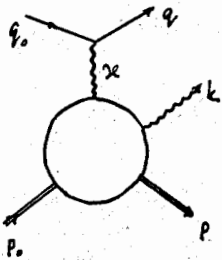


Диаграмма 1.

Амплитуда виртуального комптон-эффекта T^c определяется следующим образом:

$$T^c = \ell^n \varepsilon^\ell T_{nl}^c.$$

/2/

Исследование аналитических свойств амплитуд процессов T^c /и тем самым, доказательство существования дисперсионных соотношений/ дано в работах А.А.Логунова^{1/} и В.С. Владимира и А.А.Логунова^{2/}.

В первых параграфах диссертации /88 1-4/ получены дисперсионные соотношения /в брайтовской системе координат/, связывающие реальную и мнимую части амплитуды виртуального комптон-эффекта. В дальнейшем рассмотрение проведено для процесса тормозного излучения, так как переход к процессу рождения пар получается простой заменой импульсов реального и виртуального γ -квантов. Показано, что для исследуемых процессов не наблюдаемая область отсутствует для интервала импульсов $|\vec{p}|$, определяемого из неравенства

$$(1-\Delta)|\vec{p}| < \frac{2M(m_\pi + m_\pi^2 - \Delta(1-\Delta)|\vec{p}|)}{2\sqrt{M^2 + \vec{p}^2}}, \quad /3/$$

где $\Delta = -\frac{\chi^2}{4p^2}$. \vec{p} - импульс отдачи нуклона, M - масса нуклона, m_π - масса π -мезона. В случае реального комптон-эффекта ($\chi^2 = 0$) выражение /3/ переходит в выражение следующего вида:

$$|\vec{p}| < \frac{2Mm_\pi + m_\pi^2}{2(M + m_\pi)},$$

что согласуется с результатами Н.Н.Боголюбова и Д.В.Ширкова^{3/}.

Доказано, /см. 4/ что неоднородный член рассматриваемых дисперсионных соотношений содержит формфакторы, зависящие лишь от одной переменной. Такие формфакторы для отрицательных значений аргумента /это соответствует процессу тормозного излучения/ были исследованы в работах Хофтадтера^{4/}.

В 85 получена структура амплитуды виртуального комптон-эффекта T^c . Амплитуду T^c можно представить в виде:

$$T^c = \ell^n \varepsilon^\ell T_{nl}^c = \bar{W}(p) \ell^n \varepsilon^\ell \sum_{i=1, \dots, 12} \Omega_{st}^{(i)} \Lambda^{(i)} \Psi_{nl} \Psi_{lp} R_{lp} W(p), \quad /4/$$

где $\bar{W}(p)$ и $W(p)$ - спиноры, описывающие нуклон, $\Omega_{st}^{(i)}$ - некоторые скалярные функции, зависящие только от скалярных произведений 4-х импульсов,

$$\Lambda^{(0)} = 1, \quad \Lambda^{(1)} = \hat{k}; \quad \Psi_{nl} \text{ и } \Psi_{lp} \text{ факторы,}$$

автоматически учитывающие условия градиентной инвариантности,

$$R_{lp}^{(0)} = \Psi_{nl} \Psi_{lp}; \quad R_{lp}^{(5)} = \chi_{nl} \chi_{lp};$$

$$R_{lp}^{(1)} = \Psi_{lp} \Psi_{nl}; \quad R_{lp}^{(6)} = \chi_{nl} k_{lp};$$

$$R_{lp}^{(2)} = \Psi_{nl} k_{lp}; \quad R_{lp}^{(7)} = \chi_{nl} \chi_{lp};$$

$$R_{lp}^{(3)} = \Psi_{lp} k_{nl};$$

$$R_{lp}^{(4)} = \Psi_{nl} \chi_{lp};$$

$$R_{lp}^{(8)} = \chi_{nl} \chi_{lp};$$

$$R_{lp}^{(9)} = \chi_{nl} \chi_{lp};$$

$$R_{lp}^{(10)} = \chi_{nl} \chi_{lp};$$

$$R_{lp}^{(11)} = \chi_{nl} \chi_{lp};$$

$$R_{lp}^{(12)} = \chi_{nl} \chi_{lp};$$

$$R_{lp}^{(13)} = \chi_{nl} \chi_{lp};$$

$$R_{lp}^{(14)} = \chi_{nl} \chi_{lp};$$

$$R_{lp}^{(15)} = \chi_{nl} \chi_{lp};$$

$$R_{lp}^{(16)} = \chi_{nl} \chi_{lp};$$

$$R_{lp}^{(17)} = \chi_{nl} \chi_{lp};$$

$$R_{lp}^{(18)} = \chi_{nl} \chi_{lp};$$

$$R_{lp}^{(19)} = \chi_{nl} \chi_{lp};$$

$$R_{lp}^{(20)} = \chi_{nl} \chi_{lp};$$

$$R_{lp}^{(21)} = \chi_{nl} \chi_{lp};$$

$$R_{lp}^{(22)} = \chi_{nl} \chi_{lp};$$

$$R_{lp}^{(23)} = \chi_{nl} \chi_{lp};$$

$$R_{lp}^{(24)} = \chi_{nl} \chi_{lp};$$

$$R_{lp}^{(25)} = \chi_{nl} \chi_{lp};$$

$$R_{lp}^{(26)} = \chi_{nl} \chi_{lp};$$

$$R_{lp}^{(27)} = \chi_{nl} \chi_{lp};$$

$$R_{lp}^{(28)} = \chi_{nl} \chi_{lp};$$

$$R_{lp}^{(29)} = \chi_{nl} \chi_{lp};$$

$$R_{lp}^{(30)} = \chi_{nl} \chi_{lp};$$

$$R_{lp}^{(31)} = \chi_{nl} \chi_{lp};$$

$$R_{lp}^{(32)} = \chi_{nl} \chi_{lp};$$

$$R_{lp}^{(33)} = \chi_{nl} \chi_{lp};$$

$$R_{lp}^{(34)} = \chi_{nl} \chi_{lp};$$

$$R_{lp}^{(35)} = \chi_{nl} \chi_{lp};$$

$$R_{lp}^{(36)} = \chi_{nl} \chi_{lp};$$

$$R_{lp}^{(37)} = \chi_{nl} \chi_{lp};$$

$$R_{lp}^{(38)} = \chi_{nl} \chi_{lp};$$

$$R_{lp}^{(39)} = \chi_{nl} \chi_{lp};$$

$$R_{lp}^{(40)} = \chi_{nl} \chi_{lp};$$

$$R_{lp}^{(41)} = \chi_{nl} \chi_{lp};$$

$$R_{lp}^{(42)} = \chi_{nl} \chi_{lp};$$

$$R_{lp}^{(43)} = \chi_{nl} \chi_{lp};$$

$$R_{lp}^{(44)} = \chi_{nl} \chi_{lp};$$

$$R_{lp}^{(45)} = \chi_{nl} \chi_{lp};$$

$$R_{lp}^{(46)} = \chi_{nl} \chi_{lp};$$

$$R_{lp}^{(47)} = \chi_{nl} \chi_{lp};$$

$$R_{lp}^{(48)} = \chi_{nl} \chi_{lp};$$

$$R_{lp}^{(49)} = \chi_{nl} \chi_{lp};$$

$$R_{lp}^{(50)} = \chi_{nl} \chi_{lp};$$

$$R_{lp}^{(51)} = \chi_{nl} \chi_{lp};$$

$$R_{lp}^{(52)} = \chi_{nl} \chi_{lp};$$

$$R_{lp}^{(53)} = \chi_{nl} \chi_{lp};$$

$$R_{lp}^{(54)} = \chi_{nl} \chi_{lp};$$

$$R_{lp}^{(55)} = \chi_{nl} \chi_{lp};$$

$$R_{lp}^{(56)} = \chi_{nl} \chi_{lp};$$

$$R_{lp}^{(57)} = \chi_{nl} \chi_{lp};$$

$$R_{lp}^{(58)} = \chi_{nl} \chi_{lp};$$

$$R_{lp}^{(59)} = \chi_{nl} \chi_{lp};$$

$$R_{lp}^{(60)} = \chi_{nl} \chi_{lp};$$

$$R_{lp}^{(61)} = \chi_{nl} \chi_{lp};$$

$$R_{lp}^{(62)} = \chi_{nl} \chi_{lp};$$

$$R_{lp}^{(63)} = \chi_{nl} \chi_{lp};$$

$$R_{lp}^{(64)} = \chi_{nl} \chi_{lp};$$

$$R_{lp}^{(65)} = \chi_{nl} \chi_{lp};$$

$$R_{lp}^{(66)} = \chi_{nl} \chi_{lp};$$

$$R_{lp}^{(67)} = \chi_{nl} \chi_{lp};$$

$$R_{lp}^{(68)} = \chi_{nl} \chi_{lp};$$

$$R_{lp}^{(69)} = \chi_{nl} \chi_{lp};$$

$$R_{lp}^{(70)} = \chi_{nl} \chi_{lp};$$

$$R_{lp}^{(71)} = \chi_{nl} \chi_{lp};$$

$$R_{lp}^{(72)} = \chi_{nl} \chi_{lp};$$

$$R_{lp}^{(73)} = \chi_{nl} \chi_{lp};$$

$$R_{lp}^{(74)} = \chi_{nl} \chi_{lp};$$

$$R_{lp}^{(75)} = \chi_{nl} \chi_{lp};$$

$$R_{lp}^{(76)} = \chi_{nl} \chi_{lp};$$

$$R_{lp}^{(77)} = \chi_{nl} \chi_{lp};$$

$$R_{lp}^{(78)} = \chi_{nl} \chi_{lp};$$

$$R_{lp}^{(79)} = \chi_{nl} \chi_{lp};$$

$$R_{lp}^{(80)} = \chi_{nl} \chi_{lp};$$

$$R_{lp}^{(81)} = \chi_{nl} \chi_{lp};$$

$$R_{lp}^{(82)} = \chi_{nl} \chi_{lp};$$

$$R_{lp}^{(83)} = \chi_{nl} \chi_{lp};$$

$$R_{lp}^{(84)} = \chi_{nl} \chi_{lp};$$

$$R_{lp}^{(85)} = \chi_{nl} \chi_{lp};$$

$$R_{lp}^{(86)} = \chi_{nl} \chi_{lp};$$

$$R_{lp}^{(87)} = \chi_{nl} \chi_{lp};$$

$$R_{lp}^{(88)} = \chi_{nl} \chi_{lp};$$

$$R_{lp}^{(89)} = \chi_{nl} \chi_{lp};$$

$$R_{lp}^{(90)} = \chi_{nl} \chi_{lp};$$

$$R_{lp}^{(91)} = \chi_{nl} \chi_{lp};$$

$$R_{lp}^{(92)} = \chi_{nl} \chi_{lp};$$

$$R_{lp}^{(93)} = \chi_{nl} \chi_{lp};$$

$$R_{lp}^{(94)} = \chi_{nl} \chi_{lp};$$

$$R_{lp}^{(95)} = \chi_{nl} \chi_{lp};$$

$$R_{lp}^{(96)} = \chi_{nl} \chi_{lp};$$

$$R_{lp}^{(97)} = \chi_{nl} \chi_{lp};$$

$$R_{lp}^{(98)} = \chi_{nl} \chi_{lp};$$

$$R_{lp}^{(99)} = \chi_{nl} \chi_{lp};$$

$$R_{lp}^{(100)} = \chi_{nl} \chi_{lp};$$

$$R_{lp}^{(101)} = \chi_{nl} \chi_{lp};$$

$$R_{lp}^{(102)} = \chi_{nl} \chi_{lp};$$

$$R_{lp}^{(103)} = \chi_{nl} \chi_{lp};$$

$$R_{lp}^{(104)} = \chi_{nl} \chi_{lp};$$

$$R_{lp}^{(105)} = \chi_{nl} \chi_{lp};$$

$$R_{lp}^{(106)} = \chi_{nl} \chi_{lp};$$

$$R_{lp}^{(107)} = \chi_{nl} \chi_{lp};$$

$$R_{lp}^{(108)} = \chi_{nl} \chi_{lp};$$

$$R_{lp}^{(109)} = \chi_{nl} \chi_{lp};$$

$$R_{lp}^{(110)} = \chi_{nl} \chi_{lp};$$

$$R_{lp}^{(111)} = \chi_{nl} \chi_{lp};$$

$$R_{lp}^{(112)} = \chi_{nl} \chi_{lp};$$

$$R_{lp}^{(113)} = \chi_{nl} \chi_{lp};$$

$$R_{lp}^{(114)} = \chi_{nl} \chi_{lp};$$

$$R_{lp}^{(115)} = \chi_{nl} \chi_{lp};$$

$$R_{lp}^{(116)} = \chi_{nl} \chi_{lp};$$

$$R_{lp}^{(117)} = \chi_{nl} \chi_{lp};$$

$$R_{lp}^{(118)} = \chi_{nl} \chi_{lp};$$

$$R_{lp}^{(119)} = \chi_{nl} \chi_{lp};$$

$$R_{lp}^{(120)} = \chi_{nl} \chi_{lp};$$

$$R_{lp}^{(121)} = \chi_{nl} \chi_{lp};$$

$$R_{lp}^{(122)} = \chi_{nl} \chi_{lp};$$

$$R_{lp}^{(123)} = \chi_{nl} \chi_{lp};$$

$$R_{lp}^{(124)} = \chi_{nl} \chi_{lp};$$

$$R_{lp}^{(125)} = \chi_{nl} \chi_{lp};$$

$$R_{lp}^{(126)} = \chi_{nl} \chi_{lp};$$

$$R_{lp}^{(127)} = \chi_{nl} \chi_{lp};$$

$$R_{lp}^{(128)} = \chi_{nl} \chi_{lp};$$

$$R_{lp}^{(129)} = \chi_{nl} \chi_{lp};$$

$$R_{lp}^{(130)} = \chi_{nl} \chi_{lp};$$

$$R_{lp}^{(131)} = \chi_{nl} \chi_{lp};$$

$$R_{lp}^{(132)} = \chi_{nl} \chi_{lp};$$

$$R_{lp}^{(133)} = \chi_{nl} \chi_{lp};$$

$$R_{lp}^{(134)} = \chi_{nl} \chi_{lp};$$

$$R_{lp}^{(135)} = \chi_{nl} \chi_{lp};$$

$$R_{lp}^{(136)} = \chi_{nl} \chi_{lp};$$

$$R_{lp}^{(137)} = \chi_{nl} \chi_{lp};$$

$$R_{lp}^{(138)} = \chi_{nl} \chi_{lp};$$

$$R_{lp}^{(139)} = \chi_{nl} \chi_{lp};$$

$$R_{lp}^{(140)} = \chi_{nl} \chi_{lp};$$

$$R_{lp}^{(141)} = \chi_{nl} \chi_{lp};$$

$$R_{lp}^{(142)} = \chi_{nl} \chi_{lp};$$

$$R_{lp}^{(143)} = \chi_{nl} \chi_{lp};$$

$$R_{lp}^{(144)} = \chi_{nl} \chi_{lp};$$

$$R_{lp}^{(145)} = \chi_{nl} \chi_{lp};$$

$$R_{lp}^{(146)} = \chi_{nl} \chi_{lp};$$

$$R_{lp}^{(147)} = \chi_{nl} \chi_{lp};$$

$$R_{lp}^{(148)} = \chi_{nl} \chi_{lp};$$

$$R_{lp}^{(149)} = \chi_{nl} \chi_{lp};$$

$$R_{lp}^{(150)} = \chi_{nl} \chi_{lp};$$

$$R_{lp}^{(151)} = \chi_{nl} \chi_{lp};$$

$$R_{lp}^{(152)} = \chi_{nl} \chi_{lp};$$

$$R_{lp}^{(153)} = \chi_{nl} \chi_{lp};$$

$$R_{lp}^{(154)} = \chi_{nl} \chi_{lp};$$

$$R_{lp}^{(155)} = \chi_{nl} \chi_{lp};$$

$$R_{lp}^{(156)} = \chi_{nl} \chi_{lp};$$

$$R_{lp}^{(157)} = \chi_{nl} \chi_{lp};$$

$$R_{lp}^{(158)} = \chi_{nl} \chi_{lp};$$

$$R_{lp}^{(159)} = \chi_{nl} \chi_{lp};$$

$$R_{lp}^{(160)} = \chi_{nl} \chi_{lp};$$

$$R_{lp}^{(161)} = \chi_{nl} \chi_{lp};$$

$$R_{lp}^{(162)} = \chi_{nl} \chi_{lp};$$

$$R_{lp}^{(163)} = \chi_{nl} \chi_{lp};$$

$$R_{lp}^{(164)} = \chi_{nl} \chi_{lp};$$

$$R_{lp}^{(165)} = \chi_{nl$$

Таким образом, дисперсионные соотношения могут быть написаны для всех релятивистски-инвариантных коэффициентов Ω_i /для одного из двенадцати коэффициентов Ω_i / дисперсионные соотношения пишутся с одним вычитанием/. Переход от брайтовской системы к системе центра масс совершается теперь простым переходом от переменных в одной системе координат к переменным в другой системе координат. Переход от дисперсионных соотношений для коэффициентов Ω_i в системе центра масс к дисперсионным соотношениям для физических амплитуд M_k в той же системе можно осуществить, используя следующие разложения:

$$T^c = \sum_{i=1}^{12} \Omega_i R_i = \sum_{k=1}^{12} M_k \beta_k, \quad /8/$$

где β_k - независимые трехмерные структуры в системе центра масс.

Из соотношения /8/ получаем, что $R_i = \sum_k b_{ik} \beta_k$; b_{ik} - известные функции переменных: W - полной энергии и $\cos\theta$ - угла рассеяния реального γ -кванта относительно первичного направления падения электрона.

Матрица $\|C_{ik}\| = \|b_{ik}\|^{-1}$, нужная для получения дисперсионных соотношений находится из решения системы $M_k = \sum_i \Omega_i b_{ik}$. Используя далее соотношение

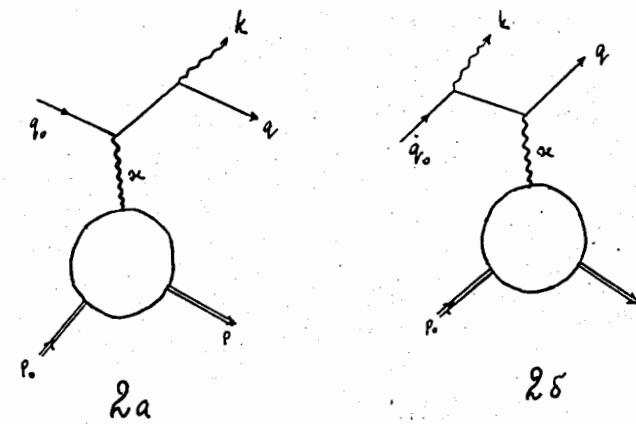
$$\sum_k b_{ik} C_{kj} = \delta_{ij},$$

получаем из дисперсионных соотношений для Ω_i дисперсионные соотношения для физических амплитуд M_k в системе центра масс. Эти соотношения могут быть использованы для дальнейших практических приложений.

Основные результаты, содержащиеся в первой главе, опубликованы в работе ^{8/}.

В главе II заново проведен расчет известных Бете-Гайтлеровских сечений тормозного излучения и рождения пар, но уже с учетом формфакторов, аномального магнитного момента и отдачи нуклонов ^{7,8/}. Дифференциальное сечение тормозного излучения, полученное в диссертации, условимся обозначать $d\sigma_T$ в отличие от бете-гайтлеровского сечения $d\sigma_{Б-Г.}$. В низ-

шем по электрическому заряду e приближении метод дисперсионных соотношений, примененный к бете-гайтлеровским диаграммам - см. диаграммы 2а и 2б - тривиальным образом приводят к матричным элементам соответствующих процессов, записанных по теории возмущений с учетом формфакторов. Совершая в $d\sigma_T$ предельный переход: а/ $M \rightarrow \infty$, б/ считая нуклон точечным /т.е. полагая форм-факторы равными единице/ и в/ полагая аномальный магнитный момент нуклона равным нулю, можно из полученных в работе формул дифференциального сечения получить бете-гайтлеровские формулы.



Влияние структуры нуклона на процессы тормозного излучения и рождения пар было рассмотрено также Дятловым ^{9/}. Однако его рассмотрение проведено для углов θ_0 , удовлетворяющих условиям

$$\theta_0^2 \ll \frac{M}{|q|}, \quad |q| \gg M, \quad /7/$$

где $|q|$ импульс электрона, θ_0 - угол между γ -квантом и падающим электроном. Условия /7/ ограничивают рассмотрение вопроса энергиями частиц > 10 Бэв и углами $\theta_0 \leq 5^\circ$ /в этом случае оказывается достаточным ограничиться одной диаграммой 2а/. В ⁹ исследовано, влияние формфакторов, аномального магнитного момента и отдачи нуклона на сечение рассматривается

мых процессов. Если форм-факторы F_i , соответствующие распределению электрического заряда (F_1) и распределению аномального магнитного момента (F_2), равны, то полное выражение, например, для дифференциального сечения тормозного излучения может быть записано в виде:

$$d\bar{\sigma}_T = F^2(ME-M^2) \left[d\bar{\sigma}_T (1+\mu)^2 + M^2 d\bar{\sigma}_{\bar{k}} \left(1 + 2\mu^2 \frac{ME-M^2}{M^2} \right) \right], \quad 18/$$

где $d\bar{\sigma}_T$ и $d\bar{\sigma}_{\bar{k}}$ соответствуют некоторым частям дифференциального сечения, μ — аномальный магнитный момент нуклона, выраженный в ядерных единицах, а E — энергия нуклона в конечном состоянии.

F^2 изменяется в пределах $[0,1]$. Поэтому формфактор уменьшает сечение тормозного излучения /конечно, кроме случая $F^2 = 1$. Присутствие магнитного момента увеличивает дифференциальное сечение тормозного излучения. Влияние отдачи нуклона на сечение можно определить путем сравнения $d\bar{\sigma}_T$ с $d\bar{\sigma}_{\text{Б.-Г.}}$, предварительно полагая $\mu = 0$ и $\bar{k} = k = 1$ в $d\bar{\sigma}_T$. Оказалось, что отдача перераспределяет сечение, т.е. в одной области углов увеличивает, а в другой — уменьшает сечение $d\bar{\sigma}_T$ по сравнению с Бете-Гайтлеровским /сравнение проведено при энергии падающего электрона ≈ 500 Мэв и энергии фотона ≈ 250 Мэв/. В области малых передач импульса и в области малых углов величина $ME - M^2 \rightarrow 0$ и выражение 18/ переходит в следующее:

$$d\bar{\sigma}_T \approx F^2 d\bar{\sigma}_{\text{Б.-Г.}}$$

/при этом $F^2 \rightarrow 1$ /. Вклады, пропорциональные μ , оказываются малыми.

При увеличении углов и энергий падающих частиц /что соответствует, вообще говоря, увеличению передач импульсов/ вклад, пропорциональный аномальному магнитному моменту, возрастает, а при больших углах ($\geq 120^\circ$) и большой энергии падающих электронов / ≥ 500 Мэв/ он становится главным.

В диссертации исследован ход изменения сечения $d\bar{\sigma}_T$ с уменьшением энергии тормозного γ -кванта.

В § 10 проведено интегрирование дифференциального сечения $d\bar{\sigma}_T$, полученного в § 3, по двум углам φ и θ из трех (ϑ, θ_0) , θ_0 — угол между векторами \vec{q}_0 и \vec{k} ; θ — угол между векторами \vec{q} и \vec{k} , φ — угол между векторами $[\vec{k}, \vec{q}_0]$ и $[\vec{k}, \vec{q}]$. Такое интегрирование приводит к формуле, содержащей зависимость только от одного угла, что значительно упрощает сравнение с экспериментом. Интегрирование, проведенное после замены $|\vec{q}_0| + \varphi_0$ и $|\vec{q}| + \varphi - \frac{m^2}{2(\vartheta_0 - \theta)}$ и для случая $F_1 = F_2$, оказалось технически весьма сложной операцией, а выражение $\bar{\sigma}(\theta_0) = \int d\bar{\sigma}_T d\varphi d\theta$ очень громоздким $^{10/}$. Аналогичное приближенное интегрирование формулы Бете-Гайтлера провел Хоуг $^{11/}$ в 1948 г.

Совершая в $\bar{\sigma}(\theta_0)$ предельный переход ($M \rightarrow \infty$, $\mu = 0$, $F_1 = F_2 = 1$) и сравнивая полученную при этом формулу с формулой Хоуга, можно оценить погрешность в последней, получающуюся из-за приближенного интегрирования по θ . Она оказалась довольно малой.

Для оценки влияния формфакторов, аномального магнитного момента и отдачи на интегральное сечение было проведено сравнение сечения $\bar{\sigma}(\theta_0)$ с сечением $\bar{\sigma}_{\text{Б.-Г.}}(\theta_0) = \int d\bar{\sigma}_{\text{Б.-Г.}} d\varphi d\theta$, полученным Хоугом.

При этом отношение $\frac{\bar{\sigma}(\theta_0)}{\bar{\sigma}_{\text{Б.-Г.}}(\theta_0)}$ как функция угла θ_0 меняется следующим образом /для $\varphi_0 = 0,54$ и $K_0 = 0,25$ — в единицах $\hbar = c = M = 1$ /:

θ_0	$\frac{\bar{\sigma}(\theta_0)}{\bar{\sigma}_{\text{Б.-Г.}}(\theta_0)}$	θ_0	$\frac{\bar{\sigma}(\theta_0)}{\bar{\sigma}_{\text{Б.-Г.}}(\theta_0)}$
10°	1.3930	90°	0.4040
20°	1.5092	120°	0.4770
30°	1.2474	150°	0.9505
60°	0.8057		

В интервале углов $0 \leq \theta_0 \leq 10^\circ$ величина $\bar{\sigma}(\theta_0) \rightarrow \bar{\sigma}_{\text{Б.-Г.}}(\theta_0)$, так что уже при $\theta_0 = 5^\circ$ разница между ними не превышает 3%. Таким образом, для экспериментального обнаружения влияния формфактора при энергиях электронов ~ 500 Мэв необходимо мерять сечение $\bar{\sigma}(\theta_0)$ как функцию θ_0 для углов $> 5^\circ$.

В главе III методом дисперсионных соотношений, в одноклонном приближении, вычислены поправки к дифференциальному сечению $d\sigma_T$, с учетом формфакторов нуклона и приведены оценки поправок в одномезонном приближении и оценки поправок высшего по ℓ порядка 12,13/.

Поправки к $d\sigma_T$, вычисленные в диссертации, складываются из трех частей: первая часть соответствует дифференциальному сечению $d\sigma_N$, происходящему от диаграммы 1 и взятому в одноклонном приближении; вторая часть соответствует интерференционному дифференциальному сечению $d\sigma_I$; третья часть соответствует однопионному вкладу.

Расчеты поправок $d\sigma_N$ и $d\sigma_I$ были проведены также Бергом и Линднером 14/. Однако авторы необоснованно ввели хофстадтеровские формфакторы в фейнмановские диаграммы и интересовались лишь приближенным интегральным вкладом тормозного излучения в конкурирующий процесс рождения π -мезона $e + N \rightarrow e + N + \pi$. В § 11 детально исследован вклад одноклонного приближения. Дифференциальное сечение в одноклонном приближении может быть записано в виде:

$$d\sigma_N = A_0 + \mu A_1 + \mu^2 A_2 + \mu^3 A_3 + \mu^4 A_4.$$

Для углов $\leq 90^\circ$ вклад $\sum_i \mu^i A_i$ оказывается малым по сравнению с вкладом A_0 и составляет $\leq 2\%$ от суммы вкладов $d\sigma_T + d\sigma_N + d\sigma_I$. В области углов $\varphi \approx 0$ и $\theta \approx \theta_0$ вклад A_0 имеет острый максимум, превышающий $d\sigma_T$, при $\theta = \theta_0 \approx 30^\circ$, примерно, на пять порядков. С увеличением φ максимум довольно быстро убывает. Появление этого острого максимума связано с тем, что $A_0 \sim \frac{1}{|\theta_0 - \theta|^{\nu}}$, а отдача $|\theta_0 - \theta|^\nu$ является быстрым меняющейся функцией углов в области $\varphi = 0$ и $\theta \approx \theta_0$. Детальное рассмотрение максимума показывает, что он состоит из двух максимумов. При уменьшении начальной энергии электрона вклад одноклонного члена уменьшается, уменьшается и высота максимума. Это подтверждено расчетами, проведенным для энергии падающего электрона $\epsilon_e = 0,54 / 0,14$ и энергии фотона $K_\gamma = 0,25 / 0,07$. Было исследовано поведение максимума с изменением энергии π -кванта. Из расчетов, проведенных для случая $\epsilon_e = 0,54$ и $K_\gamma = 0,25; 0,15; 0,05$ следует, что максимум сначала убывает (при $K_\gamma = 0,15$), а затем начинает возрастать ($K_\gamma = 0,025$).

Однако при всех энергиях двойной максимум имеет симметричную форму. Для детального исследования вклада $d\sigma_N$ были получены кривые дифференциальных сечений для случая $\epsilon_e = 0,54$ и $K_\gamma = 0,25$.

При этом, как и предполагалось, вклад $d\sigma_N$ оказался малым по сравнению с $d\sigma_T$ в области малых углов и сравнимым с $d\sigma_T$ в области больших углов.

В области углов $> 90^\circ$ вклад $\sum_i \mu^i A_i$ становится значительным и им пренебрегать нельзя.

В максимуме оценка погрешности, приведенная выше $/ \leq 2\%,$ не годится.

В § 12 рассчитан вклад $d\sigma_I$. Дифференциальное сечение $d\sigma_I$ может быть представлено в виде:

$$d\sigma_I = B_0 + \mu B_1 + \mu^2 B_2 + \mu^3 B_3.$$

В интерференционном члене нельзя ограничиться вкладом B_0 , а необходимо учесть и вклад μB_1 . Величина B_1 вообще говоря, оказывается значительной и, например, для углов $\varphi = 0$, $\theta = 30^\circ$ и $\theta_0 = 60^\circ$ достигает 20% от $d\sigma_T$. Вклад μB_1 примерно на порядок меньше вклада B_0 (за исключением точек максимума). При больших углах вклады B_0 и μB_1 становятся сравнимыми. Ошибка, вносимая в сумму сечений $d\sigma_T + d\sigma_N + d\sigma_I$ если в $d\sigma_I$ отбросить члены, пропорциональные второй и третьей степеням аномального магнитного момента, оказывается $< 1\%$ (исключая точки максимума). Таким образом, величина $d\sigma_T + d\sigma_N + d\sigma_I$ рассчитана для углов $\leq 80^\circ$ и энергий электронов ~ 500 Мэв с ошибкой $\leq 3\%$.

В § 13 дана приближенная оценка однопионного вклада. Если условие унитарности $S^+ S^- = 1$ записать в одномезонном приближении, то амплитуда виртуального комптон-эффекта можно выразить через амплитуды реального и виртуального фоторождения π -мезонов. В пределе малых значений χ^2 виртуальный комптон-эффект можно рассматривать близким к реальному. Сравнивая затем величину сечения одноклонного вклада при $\theta = \theta_0$ ($\varphi = 0$) со значениями сечения комптоновского рассеяния π -квантов на нуклонах, вычисленного в однопионном приближении для тех же углов θ , можно получить требуемую оценку.

Для угла $\theta_0 = \theta = 30^\circ$ вклад однопионного состояния меньше вклада одноклонного члена. Для угла $\theta_0 = \theta = 60^\circ$ вклад однопионного состояния приблизительно в 5-6 раз больше вклада одноклонного состояния.

Для угла $\theta_0 = \theta = 90^\circ$ вклад однопионного состояния приблизительно в 15 раз больше вклада одноклонного члена.

Предполагается, что полученные оценки, относящиеся к реальному комптон-эффекту, справедливы и для виртуального комптон-эффекта, когда $|\theta - \theta_0| \leq 5^\circ$ /тогда χ^2 достаточно мало/.

В § 14 приведены оценки радиационных поправок к тормозному излучению и поправки на двойное тормозное излучение, взятые из работ Фомина^{15/}. Суммарный вклад этих поправок для рассматриваемых в диссертации энергий не превышает нескольких процентов.

В "Заключении" рассматривается вопрос о проверке квантовой электродинамики на малых расстояниях в духе идей Дрелла^{16/} в рассматриваемых процессах^{12,13/}. Метод дисперсионных соотношений позволил рассчитать поправки $d\bar{b}_N$, $d\bar{b}_S$ и оценить вклад однопионного состояния в $d\bar{b}_T$. В результате теоретическое выражение для сечения подсчитано с достаточной степенью точности для решения вопроса о проверке квантовой электродинамики. Расчет показывает, что для случая $\gamma_0 = 0,54$, $k_0 = 0,25$, $\theta = 36^\circ$ и $\Delta = 26^\circ$ и в предположении, что общая погрешность /погрешность в расчете теоретических формул и экспериментальные ошибки/ равна 20% квантовая электродинамика проверяется до расстояний $\gtrsim 0,3 \cdot 10^{-13}$ см.

С ростом энергии падающего электрона до 1 Бэв и энергии тормозного μ -кванта до 500 Мэв под теми же углами и с той же ошибкой, что и в приведенном выше примере, квантовую электродинамику можно проверить до расстояний $\gtrsim 0,7 \cdot 10^{-14}$ см. Однако, в этом случае требуется более точный расчет однопионного состояния и поправок высшего по ℓ порядка.

Основные результаты, содержащиеся в диссертации, опубликованы в работах 6,7,8,10,12,13 и частично доложены на Всесоюзной межвузовской конференции по квантовой теории полей и теории элементарных частиц /2-6 октября 1958 г., Ужгород/ и Международной Киевской конференции по физике высоких энергий, июль 1959 г.

Л и т е р а т у р а

1. А.А. Логунов. Докторская диссертация, 1959.
2. В.С. Владимиров и А.А. Логунов. Известия АН СССР /серия математическая/, 28, 861 /1959/.
3. Н.Н. Боголюбов и Д.В. Ширков. ДАН, 113, 529 /1957/.
4. R. Hofstadter, Rev.Mod.Phys., 28, 214, (1956).
5. В.И. Ритус. ЖЭТФ, 35, 1985 /1958/.
6. И.С. Златев, П.С. Исаев. ЖЭТФ, 37, 728 /1959/.
7. И.С. Златев, П.С. Исаев. ЖЭТФ, 35, 309 /1958/.
8. P.S. Isaev, I.S. Zlatev. Nuovo Cim., XIII, 1, (1959);
см.так же "Проблемы современной теории элементарных частиц", 2
/Труды Всесоюзной межвузовской конференции по квантовой теории полей
и теории элементарных частиц, 2-6 октября 1958г./. Ужгород, издание
университета 1959 г., стр.165.
9. И.Т. Дятлов. ЖЭТФ, 35, 155 /1958/.
10. И.С. Златев, П.С. Исаев. Препринт ОИЯИ, Р-264 /1959/.
11. P.V.C. Hough. Phys.Rev., 74, 80, (1948).
12. И.С. Златев, П.С. Исаев. ЖЭТФ, 37, 1161 /1958/.
13. P.S. Isaev, I.S. Zlatev. Nuclear Physics,
14. R.A. Berg, S.N. Lindner. Phys.Rev. 112, 2072, (1958).
15. П.И. Фомин. ЖЭТФ, 35, 707 /1958/.
16. S.D. Drell. Annals of Physics, 4, 75, (1958).

Рукопись поступила в издательский отдел
8 февраля 1960 года.